

ДЛИННОВОЛНОВЫЕ ЛАЗЕРЫ НА ОСНОВЕ  
ТВЕРДЫХ РАСТВОРОВ  $GaInAsSb$   
ВБЛИЗИ ГРАНИЦЫ НЕСМЕШИВАЕМОСТИ  
( $\lambda \sim 2.5$  мкм,  $T = 300$  К)

А.Н. Баранов, Е.А. Гребенщикова,  
Б.Е. Джуртанов, Т.Н. Данилова,  
А.Н. Именков, Ю.П. Яковлев

1. Спектральный диапазон длин волн 2–2.5 мкм перспективен для волоконно-оптических линий связи третьего поколения, а также для целей влагометрии и газового анализа. Среди соединений  $A_3B_5$  наибольший интерес для создания источников когерентного излучения в указанном спектральном диапазоне представляют многокомпонентные твердые растворы  $Ga_{1-x}In_xAs_ySb_{1-y}$ , изопериодные к подложке  $GaSb$ . На основе этих растворов были разработаны лазеры для спектрального диапазона 1.8–2.4 мкм [1–3]. Длинноволновая граница лазерных структур определялась существованием обширной области несмешиваемости в системе твердых растворов  $Ga_{1-x}In_xAs_ySb_{1-y}$  для составов  $0.24 \leq X \leq 0.75$  [4]. Предельная длина волны излучения, достигнутая в работе [5], составляла  $\sim 2.4$  мкм ( $X = 0.207$ ;  $Y = 0.151$ ). Из-за наличия минимума потерь в инфракрасных волокнах на флюоридном стекле [6] на длине волны 2.4–2.5 мкм вызывает интерес исследование закономерностей генерации излучения вблизи границы несмешиваемости твердых растворов с целью создания лазеров с большей длиной волны излучения.

В данной работе исследовались лазерные структуры с активной областью на основе  $GaInAsSb$ , состав которого находился вблизи области несмешиваемости данного твердого раствора.

2. Лазерные структуры выращивались методом жидкофазной эпитаксии на подложках  $p$ -типа проводимости ( $n = (1-5) \cdot 10^{17} \text{ см}^{-3}$ ) с различной ориентацией: [100], [111]A, [111]. В и представляли собой многослойную структуру, состоящую из активного слоя  $n-GaInAsSb$ , заключенного между двумя эмиттерными слоями  $Al_{0.34}Ga_{0.66}As_{0.03}Sb_{0.97}$  толщиной (2–3) мкм. Толщина активной области находилась в интервале 0.5–0.6 мкм и была легирована теллуром до концентрации носителей  $(1-3) \cdot 10^{17} \text{ см}^{-3}$ .  $P-n$ -переход располагался на гетерогранице эмиттера и активного слоя. Из лазерных структур были изготовлены лазеры с широким контактом, а также с помощью фотолитографии полосковые лазеры (ширина полоска 30–40 мкм) с длиной резонатора 250–500 мкм.

Измерялись спектральные характеристики излучения в спонтанном и когерентном режимах, диаграмма направленности излучения и зависимость интенсивности излучения от тока в интервале 77–300 К. Спектры спонтанного и когерентного излучения измерялись с помощью монохроматора МДР-3. Детектором излучения служило фотосопро-

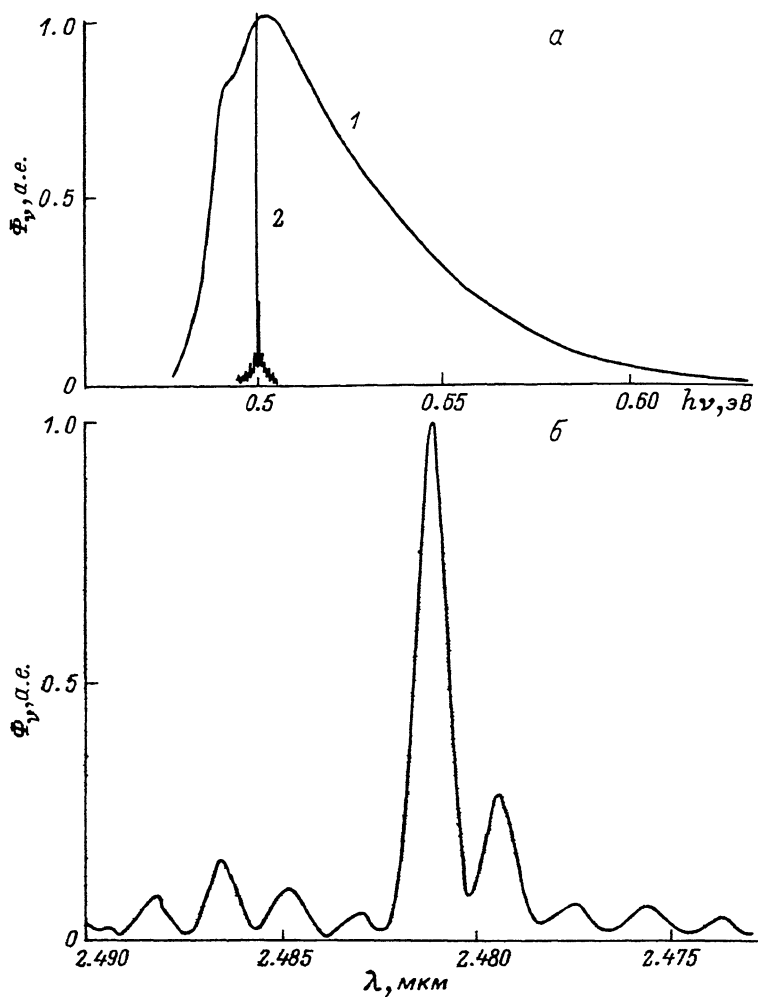


Рис. 1 а) – спектры спонтанного (1) и когерентного (2) излучения при комнатной температуре. б) модовый состав когерентного излучения при комнатной температуре.

тивление  $PbS$ . Измерения проводились на постоянном токе, а также на импульсах длительностью 200 нс и частотой следования 5 кГц. Состав твердого раствора в активной области структуры определялся с помощью рентгеновского микроанализа на отдельных слоях, выращенных на подложках различной ориентации.

3. Результаты исследования состава твердого раствора в активной области и характеристики лазерных структур представлены в таблице.

Сравнительные характеристики лазерных структур  
для различных ориентаций подложек (300 К)  
(полосковая конструкция, ширина полоска ~40 мкм,  
длина резонатора ~250)

Параметры лазеров	Состав твердой фазы $Ga_{1-x}In_xAs_ySb_{x-y}$			
	[100]	[111] А	[111] В	
	$X = 0.22$ $Y = 0.20$	$X = 0.24$ $Y = 0.205$	$X = 0.255$ $Y = 0.23$	
Полуширина спектра спонтанного излучения, $\delta$ , мэВ	35–40	40–45	50–60	
Длина волны когерентного излучения $\lambda$ , мкм	T = 77 К T = 300 К	2.08–2.10 2.32–2.34	2.14–2.15 2.44–2.45	2.16–2.18 2.46–2.48
Пороговый ток лазеров, $I_{th}$ , А		1.1–1.3	1.0–1.2	0.9–1.1

Активная область всех лазерных структур выращивалась из одного и того же состава жидкой фазы ( $X_{Ga}^z = 0.1$ ,  $X_{Sb}^z = 0.515$ ,  $X_{As}^z = 0.003$ , T = 600 С) и содержание индия в твердой фазе возрастало от 0.22 до 0.255 в ряду [100], [111] А, [111] В.

Спектр спонтанного излучения при комнатной температуре содер-  
жал одну полосу, полуширина которой зависела от ориентации под-  
ложки (рис. 1). Характерно, что полуширина спектра спонтанного  
излучения и длина волны излучения в максимуме спектральной по-  
лосы возрастили в ряду [100], [111] А, [111] В.

Когерентное излучение возникало практически в максимуме спон-  
танный полосы (рис. 1а, б). На пороге генерации обычно разреша-  
лось несколько мод, а при токах, превышающих пороговый ток в 1–  
2 раза, обычно преобладала одна мода. Длина волны излучения  
зависела от ориентации подложки и возрастала от 2.34 мкм до  
2.48 мкм в ряду [100], [111] А, [111] В. Таким образом, на  
ориентации подложки [111] В была получена самая длинноволновая  
генерация при комнатной температуре.

Пороговый ток лазерных структур слабо зависел от ориентации подложки и убывал в ряду [100], [111] А, [111] В. Для лазерных структур, полученных на границе несмешиваемости твердого раствора  $GaInAsSb$ , характерно возрастание порогового тока в 1.5–  
2 раза по сравнению с пороговым током для лазеров с  $\lambda = 2.2$  мкм.  
Этот результат находится в противоречии с данными работы [1],  
в которой наблюдалось практически независимое значение  $U_{kt}$  в широком интервале длин волн 1.7–2.4 мкм.

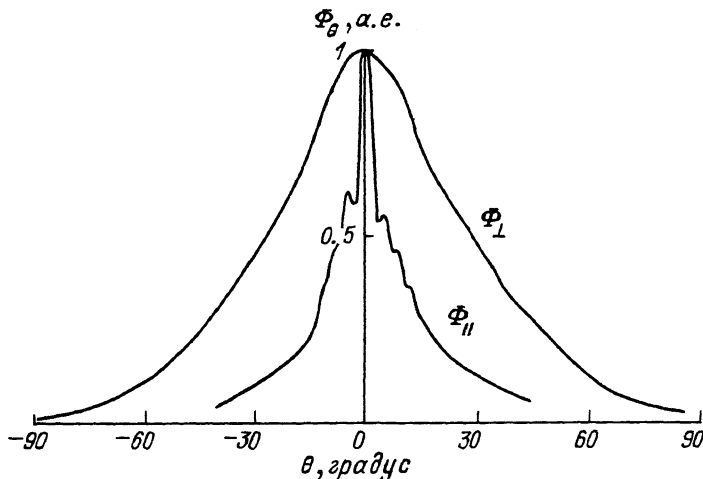


Рис. 2. Диаграмма направленности когерентного излучения в плоскости, параллельной р-п-переходу  $\Phi_{II}$  и перпендикулярной ей  $\Phi_I$ .

Пороговая плотность тока  $\mathcal{J}_{th}$  с ростом температуры увеличивается по закону  $\mathcal{J}_{th} \sim \exp(-T/T_0)$ , где характеристическая температура для разных структур  $T_0$  составляла 49–60 К для интервала температур 77–300 К, что близко к значению  $T_0$ , наблюдаемому в работах [1–3].

На структурах с максимальной длиной волны лазерного излучения наблюдалась генерация в непрерывном режиме вплоть до температуры окружающей среды 220 К. Можно предположить, что на лазерных структурах с  $\lambda \sim 2.5$  мкм возможно достигнуть непрерывной генерации и при комнатной температуре, если существенно улучшить электронное и оптическое ограничение (например за счет увеличения содержания алюминия до  $X = 0.5\text{--}0.7$  в эмиттерных слоях и использования лазерных полосковых конструкций с двусторонним электрическим и оптическим ограничением).

Лазерное излучение было линейно поляризовано с электрическим вектором электромагнитной волны, параллельным плоскости р-п-перехода (TE-поляризация). Степень поляризации составляла 0.97. Спонтанное излучение было также TE-поляризовано с коэффициентом 0.2–0.4.

Диаграмма направленности излучения длинноволнового лазера ( $\lambda = 2.48$  мкм) показана на рис. 2. В плоскости, параллельной плоскости р-п-перехода, диаграмма имеет главный лепесток и несколько побочных. Главный лепесток расположен вблизи 0 градусов и имеет ширину 6–7 градусов. В плоскости, перпендикулярной р-п-переходу, диаграмма имеет главный лепесток при нулевом значении угла и один–два побочных. Ширина главного лепестка составляет 30–35 градусов.

Анализ диаграммы излучения длинноволновых лазеров на границе несмешиваемости твердых растворов показал, что в когерентном излучении таких лазеров присутствуют только продольные моды, а распределение амплитуды электромагнитных волн на зеркале резонатора можно считать близким к однородному.

Таким образом, впервые на основе твердых растворов  $GaInAsSb$  созданы самые длинноволновые лазеры ( $\lambda \approx 2.5$  мкм), работающие при комнатной температуре.

В заключение авторы выражают благодарность А.А. Рогачеву за стимулирующие обсуждения и поддержку в работе, С.С. Архиповой и А.М. Литваку за помощь в изготовлении приборов.

### Л и т е р а т у р а

- [1] А к и м о в а И.В., Б о ч к а р е в А.Э., Д о л г и - н о в Л.М., Д р а к и н А.Е., Д р у ж и н и н а Л.В., Е л и с е е в П.Г., С в е р д л о в Б.Н., С к р и п - к и н В.А. - ЖТФ, 1988, т. 58, в. 4, с. 701-707.
- [2] Б а р а н о в А.Н., Д ж у р т а н о в Б.Е., И м е н - к о в А.Н., Р о г а ч е в А.А., Ш е р н я к о в Ю.М., Я к о в л е в Ю.П. - ФТП, 1986, т. 20, в. 12, с. 2217- 2221.
- [3] C a n e a u C., Z y s k i n d J.L., S u l - h o f f W., G l o v e r T.E., C e n t a n - n i J., B u r r u s C.A., D e n t a i A.G., P o l l a c k M.A. - Appl. Phys. Lett., 1987, v. 51, N 10, p. 764-766.
- [4] Б о ч к а р е в А.Э., Д о л г и н о в Л.М., Д р у ж и - н и н а Л.В., К а п а н а д з е Э.Б. Сб. стат. Полупровод - ник и и гетеропереходы, Таллин: Валгус, 1987, с. 3-5.
- [5] Б о ч к а р е в А.Э., Д о л г и н о в Л.М., Д р а к и н А.Е., Д р у ж и н и н а Л.В., Е л и с е е в П.Г., С в е р д - л о в Б.Н., С к р и п к и н В.А. - Кvantовая электрони - ка, 1986, т. 13, в. 10, с. 2119-2120.
- [6] Д и а н о в Е.М. - Изв. вузов, Радиоэлектроника, 1983, т. 26, в. 5, с. 27-35.

Физико-технический  
институт им. А.Ф. Иоффе  
АН СССР, Ленинград

Поступило в Редакцию  
19 августа 1988 г.